

УДК 621.372.542

А.Т.Мингазин, А.Н.Быстров, А.А.Сазонов

ВЛИЯНИЕ ПОРЯДКА ПЕРЕДАТОЧНОЙ ФУНКЦИИ НА РАЗРЯДНОСТЬ  
КОЭФФИЦИЕНТОВ И ШУМ ОКРУГЛЕНИЯ РЕКУРСИВНОГО  
ЦИФРОВОГО ФИЛЬТРА

Рассмотрены чебышевские каскадные рекурсивные цифровые фильтры нижних частот. Показано, что, увеличивая порядок передаточной функции при фиксированных предельно-допустимых параметрах АЧХ, можно одновременно снизить разрядность коэффициентов и уровень шума округления результатов арифметических действий.

В работах [1, 2] на конкретных примерах было показано, что при увеличении порядка  $n$  каскадного рекурсивного эллиптического цифрового фильтра (ЦФ) нижних частот существенно уменьшается разрядность коэффициентов передаточной функции при удовлетворении заданных требований к АЧХ. Однако с увеличением  $n$  в каскадной реализации возрастает число источников шума, обусловленных округлением результатов арифметических действий. При этом может оказаться, что ЦФ с большим значением  $n$  будет характеризоваться и большим уровнем шума округления. Для компенсации этого эффекта потребуется дополнительное наращивание разрядности в блоках ЦФ. В [1, 2] не рассматривались шумовые свойства ЦФ в зависимости от  $n$ .

В данной работе для конкретных требований к АЧХ чебышевских каскадных ЦФ нижних частот, оперирующих с числами в форме с фиксированной запятой, исследуются зависимости от  $n$  как разрядности коэффициентов, так и уровня шума округления.

## Квантование коэффициентов

Передаточную функцию чебышевского ЦФ нижних частот, состоящего из  $N$  каскадно соединенных звеньев прямой формы, представим следующим образом:

для четного  $n$

$$H(z) = \prod_{k=1}^N \frac{B_k(z)}{A_k(z)} = \prod_{k=1}^N b_k \frac{1+2z^{-1}+z^{-2}}{1+a_{1k}z^{-1}+a_{2k}z^{-2}}, \quad (1)$$

для нечетного  $n$

$$H(z) = \prod_{k=1}^N \frac{B_k(z)}{A_k(z)} = b_1 \frac{1+z^{-1}}{1+a_{11}z^{-1}} \prod_{k=2}^N b_k \frac{1+2z^{-1}+z^{-2}}{1+a_{1k}z^{-1}+a_{2k}z^{-2}}, \quad (2)$$

где  $z$  — комплексная переменная;  $a_{1k}, a_{2k}$  — коэффициенты, полученные в ходе решения задачи аппроксимации;  $b_k$  — масштабные коэффициенты;  $N = \frac{n}{2}$  и  $N = \frac{n+1}{2}$  соответственно для четного и нечетного  $n$ .

При реализации ЦФ коэффициенты  $a_{1k}, a_{2k}$  и  $b_k$  должны быть представлены двоичными числами с ограниченной разрядностью, т.е. должны быть квантованы. Для передаточной функции, имеющей вид (1) или (2), квантование коэффициентов целесообразно проводить в два этапа:

- 1) оптимальное квантование [2] коэффициентов  $a_{1k}, a_{2k}$ ;
- 2) квантование (усечение) масштабных коэффициентов  $b_k$ .

Оптимальное квантование позволяет минимизировать число разрядов  $M_a$  в дробной части коэффициентов  $a_{1k}, a_{2k}$ . Существуют различные подходы к решению задачи минимизации разрядности коэффициентов. В данной работе используется метод, основанный на оптимальном выборе исходных параметров АЧХ цифрового фильтра. Подобный подход применялся в работах [1, 3].

Масштабные коэффициенты  $b_k$  выбираются исходя из условия предотвращения переполнений в ЦФ [2, 4, 5]. При действии на входе рассматриваемого ЦФ синусоидального сигнала это условие имеет вид

$$|G_k(z)|_{\max} \leq 1 \quad \text{для } k = 1, 2, \dots, N, \quad (3)$$

где  $G_k(z)$  — передаточная функция от входа ЦФ до  $k$ -го узла суммирования.

Для максимизации динамического диапазона ЦФ необходимо условие (3) представить в виде равенства. С учетом квантования коэффициентов  $b_k$  равенство в (3) может быть выполнено лишь приближенно и тем точнее, чем больше разрядность дробной части коэффициентов  $M_B$ . Очевидно, что расчет  $b_k$  с учетом их усечения в отличие от округления будет гарантировать выполнение условия (3). Целесообразно положить  $M_B = M_A$ , однако при этом может оказаться, что после квантования для некоторого  $k$   $b_k$  будет равно нулю, а это недопустимо. Поэтому, учитывая  $0 < b_k < 1$ , будем выбирать  $M_B$  как

$$M_B = \max \{ M_A, [-\log_2 b_k \min] \}, \quad (4)$$

где символ  $[x]$  означает взятие целой части  $x$ .

Очевидно, что значение  $M_B$  может быть всегда увеличено, если при выборе его по (4)  $|H(z)|_{\max} = |b_N(z)|_{\max}$  окажется меньше минимально-допустимой величины.

#### Отношение шум/сигнал на выходе ЦФ

Результирующая дисперсия шума на выходе рассматриваемого ЦФ, обусловленная округлением результатов арифметических действий, будет равна

$$\sigma_1^2 = \frac{\sigma_0^2}{2\pi j} \sum_{i=1}^N \oint \prod_{k=i}^N \frac{B_k(z) B_k(z^{-1}) dz}{A_k(z) A_k(z^{-1}) z}, \quad (5)$$

где  $\sigma_0^2$  — дисперсия источника шума округления каждого из  $N$  звеньев ЦФ;  $B_k(z) = 1$  при  $k=i$ .

Методика вычисления  $\sigma_1^2$  была подробно изложена в [6], где также приведена шумовая модель ЦФ.

Отношение шум/сигнал на выходе ЦФ при условии, что на входе действует синусоидальный сигнал, будет равно

$$\frac{\sigma_1^2}{\sigma_2^2} = \frac{2\sigma_1^2}{|H(z)|_{\max}^2}. \quad (6)$$

Особенность каскадной реализации заключается в существенной зависимости отношения  $\sigma_1^2/\sigma_2^2$  от упорядочения звеньев ЦФ, а для таких ЦФ как эллиптические — и от группировки полюсно-нулевых пар передаточных функций звеньев [2, 4, 5]. Для минимизации  $\sigma_1^2/\sigma_2^2$

в дальнейшем будем использовать эвристический метод упорядочения звеньев ЦФ, описанный в [5]. Выбор наилучшего упорядочения звеньев по критерию минимума  $\sigma_1^2/\sigma_2^2$ , а не  $\sigma_1^2$ , как это обычно делается, обусловлен введением в рассмотрение в данной статье квантования коэффициентов  $b_k$ , поскольку при этом  $|H(z)|_{max}$  оказывается зависима от упорядочения звеньев. Без учета квантования  $b_k$   $|H(z)|_{max} = 1$  независимо от порядка следования звеньев и минимизация  $\sigma_1^2/\sigma_2^2$  сводится к минимизации  $\sigma_1^2$ .

### Зависимость эффектов конечной разрядности в ЦФ от порядка передаточной функции

На основании сделанных замечаний о методах квантования коэффициентов, масштабирования и упорядочения звеньев расчеты для каждого из рассматриваемых ниже ЦФ будем проводить в следующей последовательности. В начале осуществляется расчет коэффициентов  $a_{1k}, a_{2k}$  с учетом их оптимального квантования. Затем для полученного набора квантованных коэффициентов определяется наилучшее упорядочение звеньев ЦФ по критерию минимума отношения шум/сигнал. При этом для каждого упорядочения предварительно проводится масштабирование с учетом усечения коэффициентов  $b_k$ .

Эта последовательность расчета может быть использована не только для рассматриваемых здесь чебышевских ЦФ нижних частот, но и для других типов ЦФ, соответствующих аналоговым фильтрам-прототипам с полиномиальными передаточными функциями.

Для исследования влияния порядка передаточной функции на допустимую разрядность в представлении коэффициентов  $a_{1k}, a_{2k}, b_k$  и на отношение шум/сигнал  $\sigma_1^2/\sigma_2^2$  зададим следующие требования к АЧХ цифровых фильтров нижних частот:

неравномерность в полосе пропускания не более 2 дБ;

затухание в полосе заграждения не менее 84 дБ;

полоса пропускания от 0 до 0,04;

полоса заграждения от 0,08 до 0,5.

При этом предполагается, что частота дискретизации входного сигнала равна единице.

Данным требованиям отвечает чебышевский ЦФ с минимальным значением  $n = n_{\min} = 8$ . На рис. I представлены зависимости разрядностей дробной части коэффициентов  $a_{1k}, a_{2k}$  и  $b_k$  от  $n$ . Как следует из рисунка кривые  $M_a(n)$  и  $M_b(n)$  имеют наибольшую крутизну спада при незначительном увеличении  $n$  и для представления коэффициентов при  $n > 9$  требуется несколько бо́льшая (на 1-2 бит) разрядность, чем

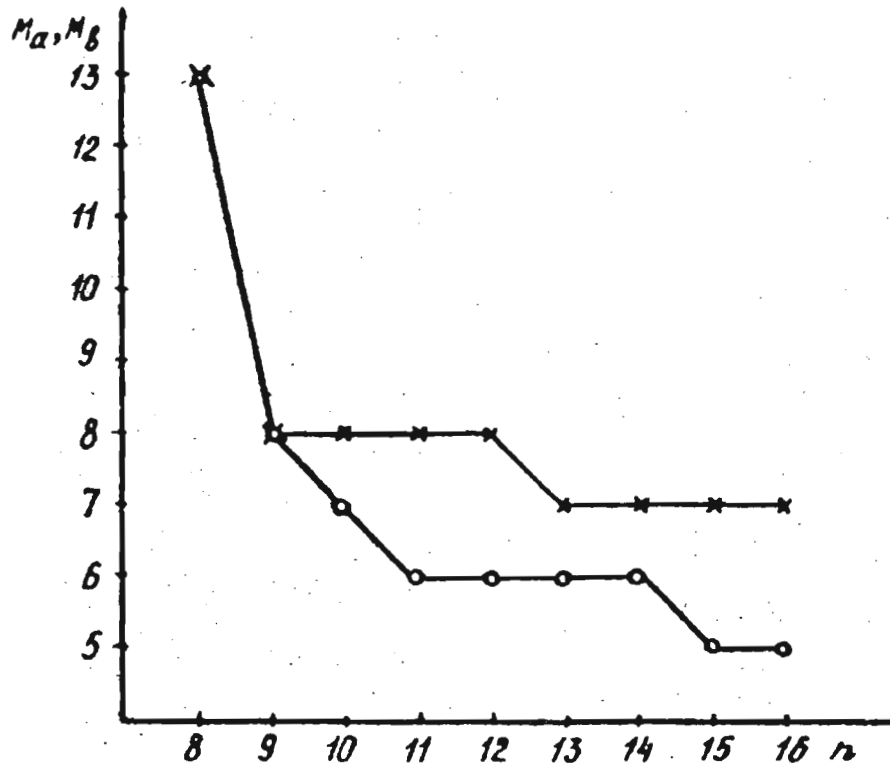


Рис. I. Зависимости разрядностей дробной части коэффициентов  $a_{1k}, a_{2k}$  и  $b_k$  от  $n$  (Условные обозначения:  $o - M_a, x - M_b$ ).

для коэффициентов  $a_{1k}, a_{2k}$ . Увеличение  $n$  вплоть до 20 не приводит к дальнейшему уменьшению разрядности  $M_a$ , что согласуется с выродом, сделанным в [I], о существовании некоторой минимальной разрядности коэффициентов при бо́льших  $n$ .

На рис. 2 представлена зависимость  $\sigma_1^2/\sigma_2^2$  от  $n$ . Значения  $\sigma_1^2/\sigma_2^2$  даны в децибеллах с точностью до постоянного слагаемого  $10 \lg \sigma_0^2$  (см. (5) и (6)). Такое поведение зависимости  $\sigma_1^2/\sigma_2^2$  от  $n$  может быть объяснено из рассмотрения карты полюсов  $H(z)$  представленной на рис. 3 для различных  $n$ . На этом рисунке для

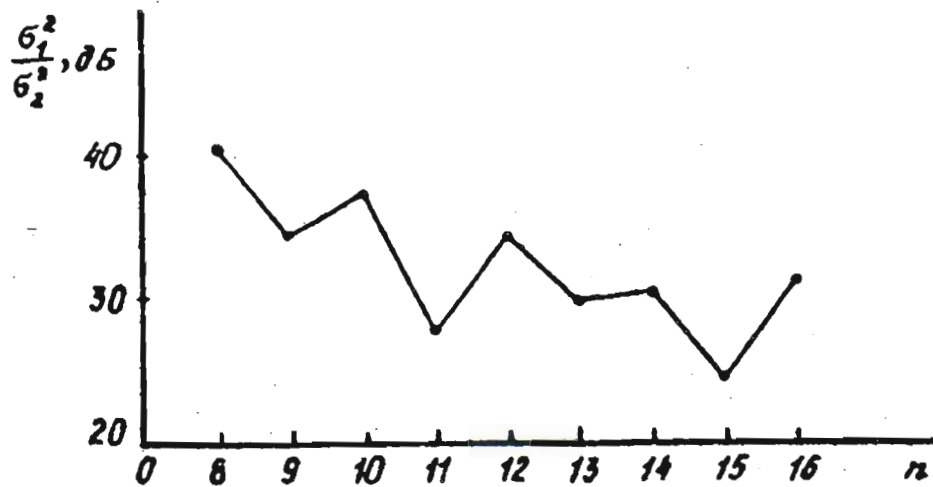


Рис.2. Отношение шум/сигнал на выходе цифрового фильтра в зависимости от  $n$ . (Значения  $\frac{\sigma_1^2}{\sigma_2^2}$  [дБ] приведены с точностью до постоянного слагаемого  $10 \lg \sigma_0^2$ .)

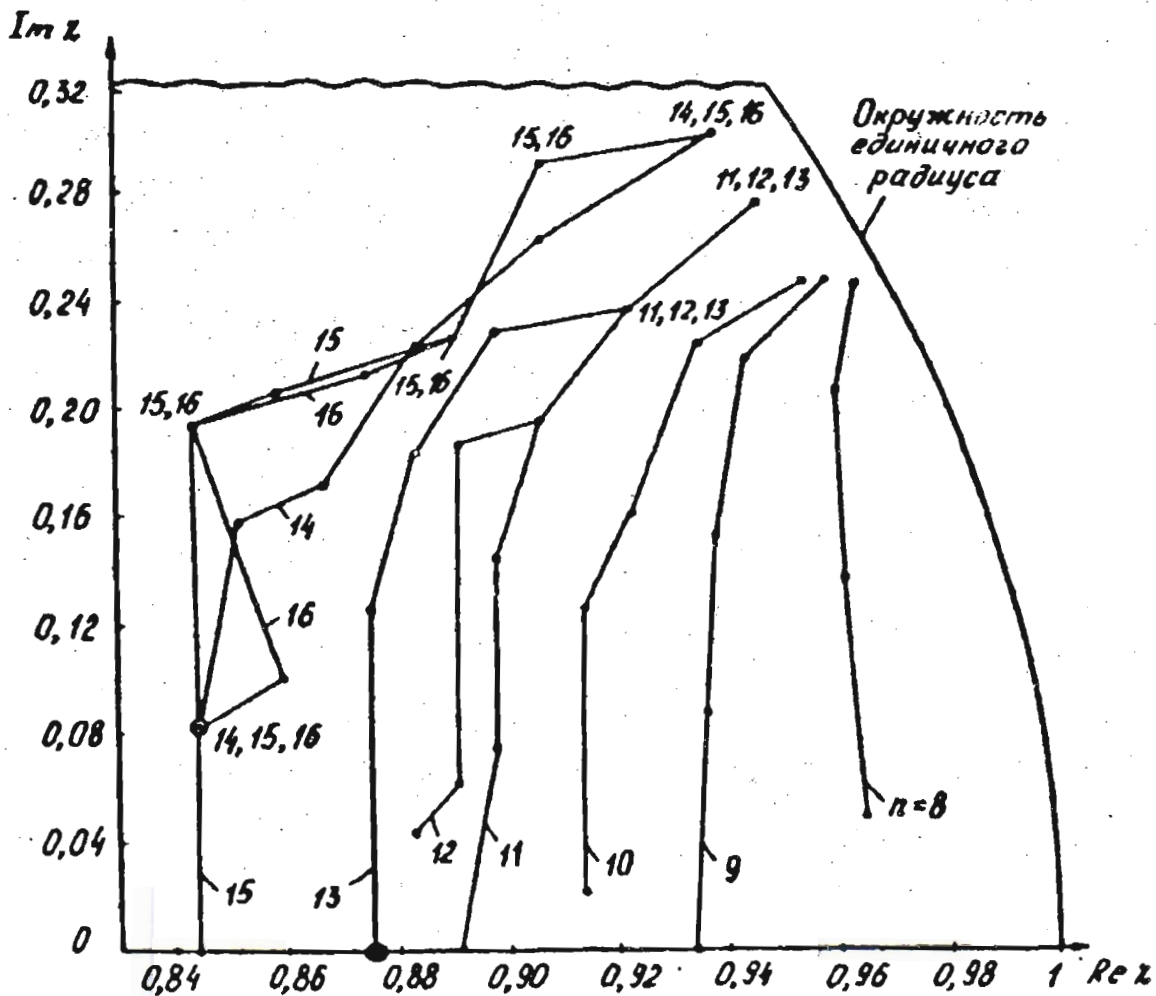


Рис.3. Карта полюсов цифровых фильтров. (Условные обозначения: • - простой полюс; •• - полюс кратности два; ••• - полюс кратности три.)

комплексно-сопряженных полюсов показаны только комплексные полюсы с положительной мнимой частью. При расчете ЦФ с  $n > n_{min}$  можно значительно уменьшить исходную неравномерность АЧХ в полосе пропускания, что приведет к снижению добротности полюсов [7] и смещению их от окружности единичного радиуса на  $z$ -плоскости [4]. Последний факт иллюстрируется рис.3.

Хорошо известно [4], что при удалении полюсов от окружности единичного радиуса при  $n = const$  результирующий уровень шума округления на выходе ЦФ уменьшается. Таким образом, по мере увеличения  $n$ , с одной стороны, увеличивается число источников шума округления, с другой стороны, уменьшается вклад в результирующую дисперсию шума от отдельных источников. Снижение  $\sigma_1^2/\sigma_2^2$  при увеличении  $n$  объясняется компенсацией шума округления от дополнительных источников смещением полюсов от окружности единичного радиуса и, наоборот, увеличение  $\sigma_1^2/\sigma_2^2$  означает, что такой компенсации не происходит. Этими двумя возможными ситуациями объясняются "скачки" в зависимости на рис.2. Как следует из рисунка, для всех  $n > 8$  величины  $\sigma_1^2/\sigma_2^2$  меньше, чем для  $n = 8$ . При этом разница для  $n = 8$  и  $n > 8$  достигает 3 - 16 дБ. Поэтому, чтобы сохранить отношение шум/сигнал при  $n = 8$ , таким же, как и при  $n > 8$ , необходимо увеличить длину регистров для хранения промежуточных данных в ЦФ на 1 - 3 бита.

Итак, с увеличением  $n$  при фиксированных требованиях к АЧХ наряду с уменьшением разрядности коэффициентов улучшаются и шумовые свойства ЦФ. Иными словами, эффекты конечной разрядности в ЦФ с  $n > n_{min}$  проявляются слабее, чем с  $n = n_{min}$ . По-видимому, этот вывод может быть распространен на цифровые фильтры с другими параметрами АЧХ.

Подход к снижению эффектов конечной разрядности за счет увеличения порядка передаточной функции при оптимальном квантовании коэффициентов и надлежащем упорядочении зренъев наряду с выбором оптимальной структуры ЦФ дает дополнительную степень свободы для проектирования ЦФ с заданными требованиями по аппаратурным затратам, быстродействию и уровню шума округления.

## СПИСОК ЛИТЕРАТУРЫ

1. DENNER G. - *AVU*, 1975, В. 29, N 4, S. 165.
2. РАБИНЕР Л.Р., ГОУЛД Б. Теория и применение цифровой обработки сигналов. - М.: Мир, 1978.
3. CROCHIERE R.E. - *IEEE trans.*, ASSP-22, 1975, N 3, p. 190.
4. ЛАННЭ А.А., ШЕВКОШЯС Г.Б. Шумы и точность реализации характеристик цифровых фильтров. - *Зарубежная радиоэлектроника*, 1974, N 4, с. 18.
5. ПЕЛЕД А., ЛИУ Б. Цифровая обработка сигналов. - Киев: Вища школа, 1979.
6. МЯГАЗИН А.Т., БЫСТРОВ А.Н. Расчет результирующей дисперсии шума округления на выходе каскадных цифровых фильтров. - *Микроэлектронные радиотехнические устройства обработки информации и техника СВЧ*. - М.: МИЭТ, 1981, с. 35.
7. Синтез активных RC-цепей./Под ред. А.А.ЛАННЭ. - М.: Связь, 1975.